

비신뢰 무선 릴레이 통신 네트워크의 안전한 물리계층 키 생성 기법

박소현¹, 이일구²

¹성신여자대학교 미래융합기술공학과 박사과정

²성신여자대학교 미래융합기술공학과 교수

220227022@sungshin.ac.kr, iglee@sungshin.ac.kr

Secure Physical Layer Key Generation in Untrusted Wireless Relay Communications and Networks

So-Hyun Park, Il-Gu Lee

Dept. of Future Convergence Technology Engineering, Sungshin Women's University

요 약

물리계층 키 생성 기법은 두 단말 간의 채널 상태 정보를 이용해 일시적인 대칭키를 생성하는 경량 키 생성 기술이다. 하지만, 두 단말 사이에 다이렉트 링크가 없는 릴레이 기반 통신 네트워크 환경에서는 물리계층 키 생성이 어렵고, 비신뢰 릴레이에 의한 키 유출 가능성이 존재한다. 본 연구는 비신뢰 릴레이 통신 네트워크 환경에서 비밀키 정보를 노출하지 않고 안전하게 키를 생성하고 공유하는 방법을 제안하고 보안성을 평가한다. 실험 결과에 따르면 종래 방식보다 제안하는 방식의 키 유출률(key leakage rate, KLR)이 87.5% 감소하였고, 릴레이 수가 증가할수록 KLR이 감소하여 제안하는 방식이 비신뢰 릴레이 환경에서 높은 보안성을 보장함을 확인하였다.

경량 사물인터넷 네트워크에 적합하고, 채널 상관성에 따라 동일한 CSI 획득이 어렵기 때문에 키 유출을 방지할 수 있다 [3].

본 연구에서는 AP와 STA 간의 다이렉트 링크가 없고 신뢰할 수 없는 릴레이를 이용한 무선 통신 환경에서 릴레이 노드에 비밀키를 노출하지 않으면서 AP와 STA가 CSI를 이용하여 비밀키를 생성하고 공유하는 방법을 제안한다. 또한, 릴레이 노드에 의한 키 유출률(key leakage rate, KLR)을 최소화하기 위한 보안이 강화된 키 생성 기법을 제안하고 보안성을 평가한다.

1. 서론

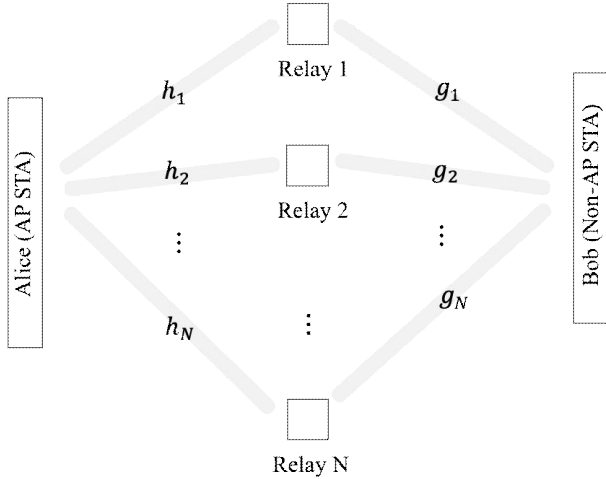
최근 무선랜(wireless local area network, WLAN)은 신뢰성을 추구하는 방향으로 발전하고 있으며, 특히 신호 도달 거리 밖에 있는 단말 간 릴레이를 이용해 통신하는 기술에 관한 연구가 활발히 진행되고 있다 [1]. 릴레이 노드는 AP(access point)와 STA(station)의 전송 커버리지를 확장하여 숨겨진 노드 문제(hidden node problem)를 해결할 수 있다. 하지만, 신뢰할 수 없는 릴레이 통신 네트워크 환경에서 릴레이 노드가 전송 데이터를 도청하거나 스푸핑(spoofing)할 수 있다.

복잡한 해시 연산 기반의 종래 키 생성 기법을 대체하는 물리계층 키 생성(physical layer key generation, PLKG) 기술은 두 단말 간의 채널 상태 정보(channel state information, CSI)를 이용하여 일시적인 대칭키를 생성하는 경량 키 생성 기법이다 [2]. 무선랜과 같은 TDD(time-division duplex) 시스템에서는 일정한 기간 동안 업링크와 다운링크의 채널 응답이 유사한 특성을 이용하여 임시의 대칭키를 생성할 수 있다. PLKG는 복잡한 연산을 할 수 없는

2. 시스템 모델

그림 1은 릴레이 기반 통신 시스템의 구조도를 나타낸다. Alice와 Bob, 릴레이 노드는 모두 싱글 안테나로 구성되어 있고, N개의 릴레이 노드가 Alice의 각 링크의 신호를 Amplify-and-Forward 방식으로 Bob에게 전달하는 구조이다. Alice와 Bob은 각각 AP과 STA 일 수 있고, Alice와 Bob은 Alice와 모든 릴레이 노드 사이의 채널 임펄스 응답(channel impulse response, CIR)을 조합해서 동일한 비밀키

를 생성한다. 이때, 릴레이 노드는 수동적인 도청자이거나 릴레이 노드 간 협력을 통해 모든 채널의 CIR을 알아내고 비밀키를 생성할 수 있지만, 본 연구에서는 릴레이 노드 간의 거리가 1/2 파장 이상 떨어져 있어서 각 채널이 독립적이며 릴레이 간 협력은 고려하지 않는 환경을 가정한다.



(그림 1) 릴레이 기반 통신 시스템 구조도.

Alice와 Bob은 Alice와 i 번째 릴레이 노드 R_i ($i = 1, 2, \dots, N-1$) 사이의 CIR을 모두 조합하여 비밀키를 생성한다. Alice는 채널 추정을 위해 t_1 의 시간에 R_i 로 M 개의 부반송파를 포함하는 주파수 영역의 OFDM(orthogonal frequency division multiplexing) 파일럿 심볼 $a = [a_1, a_2, \dots, a_M]^T \in \mathbb{C}^{M \times 1}$ 를 전송한다. 마찬가지로, R_i 는 t_2 의 시간에 Alice에게 파일럿 심볼 $b = [b_1, b_2, \dots, b_M]^T \in \mathbb{C}^{M \times 1}$ 를 전송한다. 이때, t_1 과 t_2 사이의 시간은 상관 시간(coherence time) τ 보다 짧아서 ($|t_2 - t_1| < \tau$), Alice와 R_i 사이의 채널 $h_{AR_i}(t_1)$ 과 R_i 와 Alice 사이의 채널 $h_{R_iA}(t_2)$ 은 무선 채널의 호혜성(reciprocity) 특성에 따라 $h_{AR_i}(t_1) \approx h_{R_iA}(t_2)$ 의 관계가 성립한다.

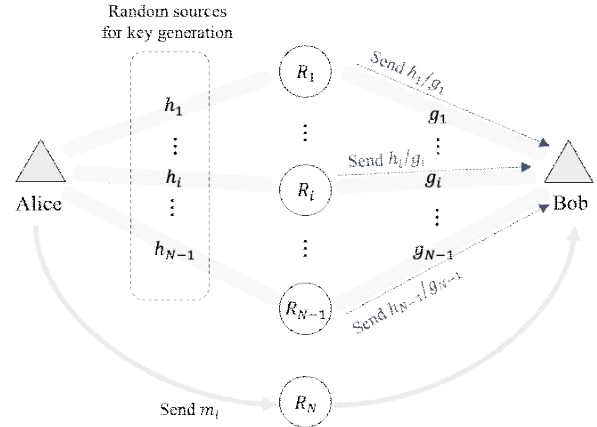
R_i 가 Alice로부터 받은 신호는 식 (1)과 같이 모델링할 수 있다.

$$y_i = H_i a + Z_i \quad (1)$$

이때, Z_i 는 평균이 0, 분산이 σ^2 인 AWGN(additive white Gaussian noise)의 푸리에 변환이고, $H_i \in \mathbb{C}^{M \times M}$ 은 R_i 가 추정한 Alice로부터의 채널 주파수 응답 h_i 의 대각 행렬을 나타낸다 [4].

2.1 키 생성 알고리즘

그림 2는 N 개의 릴레이로 구성된 환경에서 비밀키를 생성하는 시스템 구조도를 나타낸다. Alice와 R_i ($i = 1, 2, \dots, N-1$) 까지의 모든 채널 h_i 를 조합하여 비밀키를 생성하기 위해서, Bob은 Alice와 R_i 사이의 채널 h_i 를 각 릴레이 R_i 에게 전달받는다. 이때, h_i 를 도청자로부터 보호하며 안전하게 전달하기 위해서 R_i 와 Bob 간의 채널 g_i 로 h_i 를 나눈 값 h_i/g_i 를 전달한다.



(그림 2) 릴레이 기반 PLKG 시스템 구조도.

종래 물리계층 키 생성은 OFDM 심볼 내 부반송파의 크기(amplitude) 또는 위치(indices)를 이용하는 방법이 있고 [5], 본 연구에서는 부반송파의 크기를 이용하여 물리계층 키를 생성하는 방식을 사용하였다.

각 채널 h_i 는 독립적이며, Alice와 R_i 는 채널 추정을 위해서 상관 시간 τ 동안 각각 파일럿 심볼 $a = [a_1, a_2, \dots, a_M]^T \in \mathbb{C}^{M \times 1}$ 과 $b = [b_1, b_2, \dots, b_M]^T \in \mathbb{C}^{M \times 1}$ 를 주고받는다. 이때 R_i 가 추정한 주파수 영역의 채널은 $H_i \in \mathbb{C}^{M \times M}$ 으로 나타낼 수 있다.

대각 행렬 H_i 는 열벡터 $h_i = [\text{diag}(H_i)]^T \in \mathbb{C}^{1 \times M}$ 로 변환하고, h_i 를 l 개의 부반송파를 포함하는 s 개의 서브그룹($l = M/s$)으로 나눈다. 즉, $p = \{1, 2, \dots, s\}$ 일 때 $h_i = [h_i^1, \dots, h_i^p, \dots, h_i^s]$ 와 같이 s 개의 서브그룹으로 나누고, 각 서브 그룹은 $q = \{1, 2, \dots, l\}$ 일 때 $h_i^p = [h_i^{p,1}, \dots, h_i^{p,q}, \dots, h_i^{p,l}]$ 와 같이 l 개의 부반송파를 포함한다.

h_i 의 부반송파의 크기를 양자화하여 키를 생성하기 위해서, 먼저 식 (2)와 같이 h_i 의 전체 부반송파의 평균 크기 $Av(h_i)$ 를 구하고, 식 (3)과 같이 $Av(h_i)$ 를 기준으로 각 부반송파 크기를 0 또는 1의

키 값으로 변환한다.

$$Av(h_i) = \frac{\sum_{p=1}^s \sum_{q=1}^l h_i^{p,q}}{M} \quad (2)$$

$$Key(h_i^{p,q}) = \begin{cases} 0, & Av(h_i) > h_i^{p,q} \\ 1, & Av(h_i) \leq h_i^{p,q} \end{cases} \quad (3)$$

채널의 수신 신호 대 잡음 비 (signal-to-noise ratio, SNR)에 따라서 Alice와 R_i 가 추정된 채널 간 오차가 발생하여 키 생성률 (key generation rate, KGR)이 낮아지고 키 불일치율 (key mismatch rate, KMR)이 높아질 수 있어서, 전체 부반송파 중 일부만을 키 생성에 사용하여 KMR을 낮출 수 있다. 예를 들어, 채널 h_i 에서 한 서브그룹 내에서 키 생성에 사용할 부반송파의 개수를 m_i 라고 할 때, 만들 수 있는 키의 길이는 $m_i \times s$ 비트이다. 최종적으로 $N-1$ 개의 릴레이로 구성된 환경에서 Alice와 Bob이 생성할 수 있는 총 키의 길이는 $\sum_{i=1}^{N-1} m_i \times s$ 비트이다.

2.2 키 유출률

본 연구에서는 릴레이 노드 간 협력을 통한 키 생성 확률은 고려하지 않고, 릴레이 노드 R_i 가 Alice와 나머지 릴레이 노드 R_j ($j = 1, 2, \dots, N-1, i \neq j$) 간의 채널 h_j 로부터 생성한 키 값을 무차별 대입 공격하여 알아내는 키 유출 시나리오를 가정한다. 즉, 전체 키 길이를 K 라고 할 때 R_i 가 나머지 키비트를 무차별 대입 공격하여 알아내는 키 유출 확률은 식 (4)와 같이 R_i 가 무차별 대입 공격으로 $(K - m_i)$ 개의 나머지 비트를 알아낼 확률과 같다.

$$KLR_{R_i} = \frac{1}{2^{(K - m_i) \times s}} \quad (4)$$

만약 m_i 가 모든 h_i 에서 동일할 경우 하나의 릴레이 노드는 전체 키 길이를 $K = (N-1) \times m_i \times s$ 와 같이 구할 수 있고, 이때 R_i 가 전체 키를 알아내는 KLR은 식 (4)에 의하여 $KLR_{R_i} = \frac{1}{2^{((N-2) \times m_i \times s)}}$ 와 같이 구할 수 있다.

3. 제안하는 키 생성 기법

릴레이 노드에 의한 키 유출률을 최소화하기 위해서, 그림 2와 같은 시스템 환경에서 전체 N 개의 채널 중 $N-1$ 개의 채널 h_i 마다 m_i 를 다르게 할당하여 키를 생성하고, 각 채널의 m_i 정보는 신뢰할 수 있는 나머지 하나의 릴레이 노드로 전송할 수 있다. 따라서, R_i 가 전체 키를 알아내는 KLR은 식 (5)와 같이 R_i 가 먼저 총 키의 길이를 알아내고 자신의 키를 제외한 나머지 키를 무차별 대입 공격하여 알아내는 키 유출률과 동일하다.

$$KLR_{R_i} = \left(\frac{1}{l}\right)^{(N-2)} \times \frac{1}{2^{(K - m_i \times s)}} \quad (5)$$

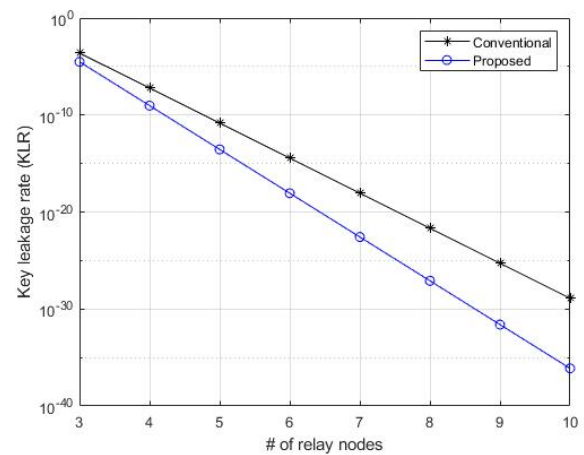
또한, 모든 채널의 m_i 정보를 전달하는 릴레이 노드에 의해 키가 유출률은 $\frac{1}{2^{((N-1) \times m_i \times s)}}$ 으로, 종래 방식보다 낮은 KLR을 가진다.

4. 성능 평가

그림 3의 그래프는 릴레이 수의 증가에 따른 종래 방식과 제안하는 방식의 KLR을 비교하고, 표 1은 성능 평가 파라미터를 나타낸다.

<표 1> 성능 평가 파라미터

Parameter	Value
M	48
s	6
$l = M/s$	8
m_i	2
N	[3:10]



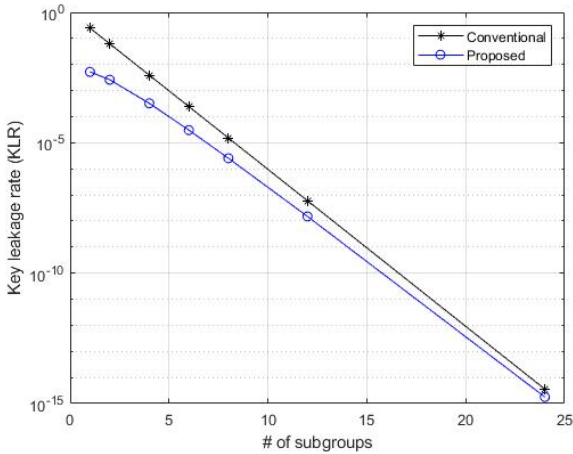
(그림 3) 릴레이 수에 따른 KLR 비교.

먼저, 종래 방식과 제안하는 방식에서 모든 채널의 m_i 값은 동일하게 2로 설정하고 총 생성되는 키

길이가 동일한 환경일 때를 가정하였다. 그림 3은 릴레이 수에 따른 종래 방식과 제안 방식의 KLR을 보여준다. 그림 3에서 릴레이 노드가 3개이고, 그 중 2개의 릴레이 노드의 채널로 키를 생성하고 나머지 하나의 릴레이 노드는 키 정보를 전달하는 환경일 때, 종래 방식 대비 제안하는 방식의 KLR은 87.5% 감소하였고, 릴레이 노드의 개수가 증가할수록 KLR이 감소하는 것을 확인할 수 있다.

<표 2> 성능 평가 파라미터

Parameter	Value
M	48
s	[1, 2, 4, 6, 8, 12, 24]
$l = M/s$	[48, 24, 12, 8, 6, 4, 2]
m_i	2
N	3



(그림 4) 채널 당 서브그룹 수에 따른 KLR 비교.

그림 4는 릴레이 노드의 수는 3, m_i 는 2로 고정하고 서브그룹 s 의 개수를 증가시키며 종래 방식과 제안하는 방식의 KLR을 비교한 그래프이다. 종래 방식과 제안하는 방식은 모두 서브그룹 수가 증가할수록 키의 길이가 증가하여 KLR이 감소하였고, 제안하는 방식은 $s=2$ 일 때 종래 방식보다 KLR이 약 95.8% 감소하였다.

즉, 각 릴레이 채널마다 생성되는 키 길이를 다르게 하여 총 생성되는 비밀키의 길이를 비식별화함으로써 비신뢰 릴레이에 의한 키 유출을 방지할 수 있다. 또한, 릴레이의 수와 서브그룹 수가 증가하면 키의 길이가 증가하여 릴레이에 의한 키 유출에 더욱 강인해진다.

5. 결론

본 연구는 비신뢰 무선 릴레이 기반의 통신 네트워크 시스템에서 릴레이 노드에게 비밀키 정보를 노출하지 않고 채널 상태 정보를 기반으로 물리계층 비밀키를 생성하는 방법을 제안하였다. 각 채널의 키 길이를 다르게 할당하여 비밀키를 생성하는 방식으로 비신뢰 릴레이에 의한 키 유출률을 최소화하고 안전하게 비밀키를 공유할 수 있다. 향후 연구로는 다중 비신뢰 무선 릴레이 통신 네트워크 시스템에서, 각 채널 상태에 따라 KGR 및 KMR을 최적화할 수 있는 파워 할당 기법을 연구하고자 한다.

ACKNOWLEDGMENT

본 논문은 2024년도 산업통상자원부 및 한국산업기술진흥원의 산업혁신인재성장지원사업 (RS-2024-00415520)과 과학기술정보통신부 및 정보통신기획평가원의 ICT혁신인재4.0 사업의 연구결과로 수행되었음 (No. IITP-2022-RS-2022-00156310)

참고문헌

- [1] Wang, X., Shu, F., Shi, W., Liang, X., Dong, R., Li, J., & Wang, J. (2022). Beamforming design for IRS-aided decode-and-forward relay wireless network. *IEEE Transactions on Green Communications and Networking*, 6(1), 198-207.
- [2] Aldaghri, N., & MahdaviFar, H. (2020). Physical layer secret key generation in static environments. *IEEE Transactions on Information Forensics and Security*, 15, 2692-2705.
- [3] Zhang, J., Rajendran, S., Sun, Z., Woods, R., & Hanzo, L. (2019). Physical layer security for the Internet of Things: Authentication and key generation. *IEEE Wireless Communications*, 26(5), 92-98.
- [4] Wang, D., Chen, F., Chen, Y., Zheng, M., & Zheng, J. (2022). Scramble-Based Secret Key Generation Algorithm in Physical Layer Security. *Mobile Information Systems*, 2022.
- [5] Furqan, H. M., Hamamreh, J. M., & Arslan, H. (2020). New physical layer key generation dimensions: Subcarrier indices/positions-based key generation. *IEEE Communications Letters*, 25(1), 59-63.